

ЧИСЛЕННЫЙ ЭКСПЕРИМЕНТ ПО САМОФОКУСИРОВКЕ
ЭЛЕКТРОМАГНИТНЫХ ВОЛН В НЕЛИНЕЙНОЙ СРЕДЕ

B. B. Соболев, B. C. Сынаж

(*Новосибирск*)

Приведены результаты численного эксперимента по распространению широких аксиально-симметричных волновых пучков в слабо нелинейной среде. Рассмотрены случаи кубической нелинейности и нелинейности с насыщением.

Как известно, распространение достаточно широких аксиально-симметричных волновых пучков в слабо нелинейной среде без поглощения с диэлектрической проницаемостью

$$\varepsilon = \varepsilon_0 [1 + f(|u|^2)], \quad f(|u|^2) \ll 1 \quad (1)$$

описывается параболическим уравнением [1,2]

$$2i \frac{\partial u}{\partial z'} = \frac{\partial^2 u}{\partial r'^2} + \frac{1}{r'} \frac{\partial u}{\partial r'} + k^2 f(|u|^2) u \quad \left(k = \frac{\omega}{c} \sqrt{\varepsilon_0} \right) \quad (2)$$

Здесь r' — радиальная координата, z' — аксиальная координата, c — скорость света, ω — частота, u — напряженность электрического поля.

В безразмерных переменных $r = kr'$ уравнение (1) принимает вид

$$2i \frac{\partial u}{\partial z} = \frac{\partial^2 u}{\partial r^2} + \frac{1}{r} \frac{\partial u}{\partial r} + f(|u|^2) u \quad (3)$$

Трудности аналитического исследования уравнения (3) приводят к необходимости его численного интегрирования. В данной работе такое интегрирование проведено для среды с кубической нелинейностью

$$f(|u|^2) = \sigma |u|^2 \quad (\sigma > 0) \quad (4)$$

и для среды с насыщением нелинейности вида

$$f(|u|^2) = \sigma \kappa^{-1} (1 - \exp(-\kappa |u|^2)) \quad (\sigma, \kappa > 0) \quad (5)$$

Такой выбор (5) обусловлен тем, что при достаточно малых $|u|$ среду (5) можно считать кубической, а при $|u| \gg 1$ параболическое уравнение (3) становится линейным.

В качестве начального условия для уравнения (3) берется гауссовское распределение

$$u(r, 0) = \exp(-r^2 / l^2) \quad (6)$$

где l — характерная ширина начального пучка.

Естественные граничные условия для (3) имеют вид [1,3]

$$\frac{\partial u}{\partial r}(0, z) = 0, \quad u(\infty, z) = 0 \quad (7)$$

Заметим, что из сходимости интеграла энергии

$$P = \int_0^\infty |u|^2 r dr \quad (8)$$

следует, что $|u|$ убывает быстрее, чем r^{-1} .

Для краевого условия на бесконечности воспользуемся аппроксимацией вида

$$\partial u(R, z) / \partial r = \alpha(R) u(R, z) \quad (9)$$

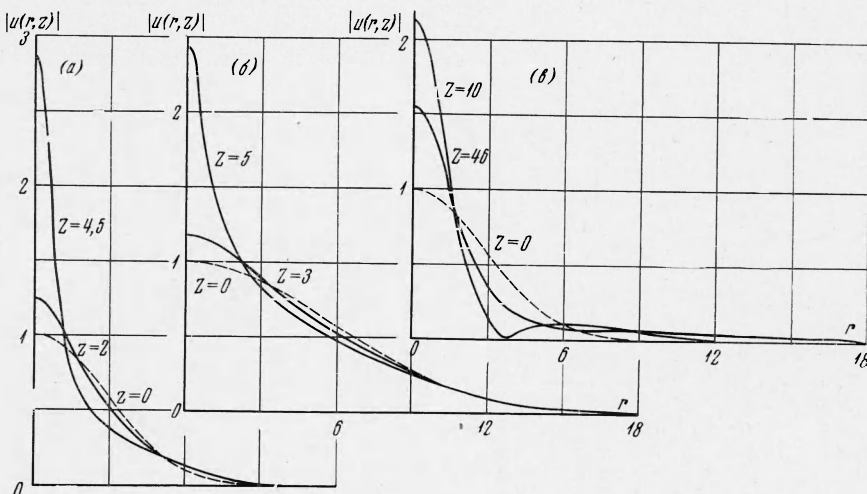
где R — конечная точка интервала численного интегрирования. Для получения $\alpha(R)$ применим метод, развитый в [4] для линейных дифференциальных уравнений. Возможность применения алгоритма [4] в данном случае связана с тем, что нелинейный член $f(|u|^2)$ и убывает на бесконечности по крайней мере как r^{-3} . Уравнение (3) аппроксимируется неявной двухслойной конечно-разностной схемой второго порядка по r и первого порядка по z [5]. Полученная система алгебраических уравнений для искомых сеточных функций на различных слоях по z решалась методом прогонки. Счет проводился на ЭВМ БЭСМ-6 в полосе $0 \leq r \leq R$ и прекращался при достижении наперед заданного значения z . Величина R выбиралась в пределах от $5l$ до $10l$. Практически вычисления по проведенному алгоритму оказались устойчивыми при любых шагах по r и по z .

Для контроля правильности счета использовалось сохранение интеграла энергии P , который можно представить в виде, удобном для численной реализации

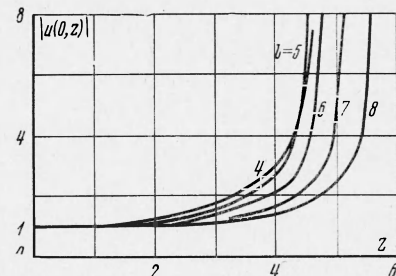
$$P = P_1 + P_2$$

$$P_1 = \int_0^R |u|^2 r dr, \quad P_2 = R \operatorname{Im} \int_0^z \left(u - \frac{\partial u}{\partial r} \right)_{r=R} dz \quad (10)$$

Формулу (10) легко получить, если умножить обе части уравнения (3) на u и применить к мнимой части полученного выражения формулу Грина.



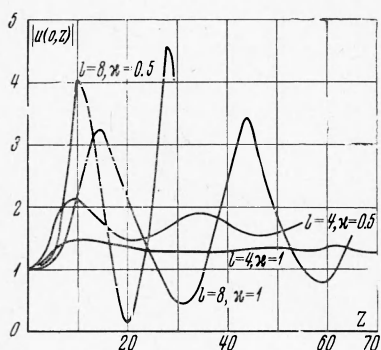
Фиг. 2



Фиг. 1

В [1,2] указывается, что в кубической среде при мощности пучка P , превышающей некоторую критическую величину P_* , пучок самосжимается (схлопывается) в точку на оси z . Численные расчеты показывают [1], что критической мощности соответствует $l_* \approx 2.73$. При $l > l_*$ интенсивность пучка на оси возрастает. Изменение амплитуды поля на оси пучка при различных $l > l_*$ показано на фиг. 1.

Оказывается, что в схлопнувшейся части пучка сосредоточено приблизительно 20—30% всей энергии



Фиг. 3

ся. Размах осцилляций $|u(0, z)|$ уменьшается с ростом ν и амплитуда на оси стремится к некоторому стационарному состоянию. На фиг. 2, в изображены профили $|u(0, z)|$ для $l = 4$, $\nu = 0.5$.

В процессе счета накапливаются ошибки, связанные с погрешностью аппроксимации исходного уравнения (3). Это приводит к тому, что рассчитанный по (11) интеграл энергии слегка меняется. Максимальная глубина прохождения пучка на фиг. 1,3 соответствует «изменению» энергии на 3% по сравнению с начальной.

Приведенные расчеты применимы к интервалам времени после появления светового импульса, меньшим чем время, необходимое для проявления температурных и струкционных эффектов.

Авторы благодарят В. И. Карпмана за ценные обсуждения и интерес к работе.

Поступила 5 III 1969

ЛИТЕРАТУРА

- Гольдберг В. Н., Таланов В. И., Эрм Р. Э. Самофокусировка аксиально-симметричных волновых пучков. Изв. вузов, Радиофизика, 1967, т. 10, № 5, стр. 674—685.
- Chiao R. V., Garmire E., Townes C. H. Self-trapping of optical beams. Phys. Rev. Letter, 1964, vol. 13, No. 15, pp. 479—482.
- Дышно А. Л., Луговой В. Н., Порохоров А. М. Самофокусировка интенсивных световых пучков. Письма ЖЭТФ, 1967, т. 6, вып. 5.
- Биргер Е. С., Яликова Н. Б. О нахождении для некоторых систем обыкновенных дифференциальных уравнений решений с заданным условием на бесконечности. Ж. вычисл. матем. и матем. физ., 1965, т. 5, № 6.
- Рихтмайер Р. Д. Разностные методы решения краевых задач, М., Изд-во иностр. лит., 1960.